



Laboratorium EMVO Sp. J. Urbański, Pawelak
ul. Jasna 1
00-013 Warszawa

tel. +48 22 780 29 64
e-mail: laboratorium@emvo.pl



AB 1630

Sprawozdanie z pomiarów pól elektromagnetycznych - środowisko nr 7/04/OŚ/2023– P4-W



Nr i nazwa stacji	LUB1020A	
Adres	Lublin, Głowackiego 35, pow. Lublin, woj. lubelskie	
Opracowanie		Specjalista ds. pomiarów
Autoryzacja		Kierownik Laboratorium
Podpis	Podpis jest prawidłowy Dokument podpisany przez [redacted] Data: 2023.04.11 07:58:23 [redacted] Powód: Zatwierdzam dokument	
Data	2023-04-06	

Spis treści

1. Informacje ogólne.....	3
2. Podstawa prawna.....	3
3. Opis pomiarów.....	4
4. Zróżnicowanie dopuszczalne poziomy pól elektromagnetycznych.....	5
5. Charakterystyka źródeł PEM.....	5
6. Wyniki pomiarów.....	5
7. Stwierdzenie zgodności.....	6
8. Oświadczenie.....	8
9. Spis załączników.....	9

1. Informacje ogólne.

Zleceniodawca	P4 sp. z o.o., ul. Wynałazek 1, 02-677 Warszawa osoba udzielająca informacji-
Istotne informacje dostarczone przez klienta	komplet informacji niezbędnych do wykonania pomiarów i opracowania sprawozdania
Dane otrzymane od klienta mogące mieć wpływ na ważność wyników	Dane anten sektorowych, dane anten radioliniowych, parametry pracy instalacji, ustawienie pochylenia anten
Prowadzący instalację	P4 sp. z o.o., ul. Wynałazek 1, 02-677 Warszawa
Lokalizacja obiektu	Lublin, Głowackiego 35, pow. Lublin, woj. lubelskie
Miejsce instalacji anten	Dach budynku
Miejsce instalacji urządzeń	Outdoor
Osoby wykonujące pomiar	
Data wykonania pomiaru	06.04.2023
Temperatura na początku pomiaru [°C]	0,2
Temperatura na koniec pomiaru [°C]	0,3
Warunki atmosferyczne	Brak opadów
Wilgotność na początku pomiaru [%]	74,8
Wilgotność na koniec pomiaru [%]	74,9
Godzina na początku pomiaru	08:14
Godzina na koniec pomiaru	09:34
Inne źródła pól elektromagnetycznych oznaczone na załączniku graficznym	Występują
Parametry pracy instalacji	Tryb eksploatacyjny

2. Podstawa prawna.

2.1 Normy i rozporządzenia:

- Rozporządzeniem Ministra Klimatu z dnia 17 lutego 2020 r. w sprawie sposobów sprawdzania dotrzymania dopuszczalnych poziomów pól elektromagnetycznych w środowisku (Dz.U. 2020 poz. 258)
- Rozporządzenie Ministra Zdrowia z dnia 17 grudnia 2019 r. w sprawie dopuszczalnych poziomów pól elektromagnetycznych w środowisku (Dz.U. 2019 poz. 2448)
- Obwieszczenie Marszałka Sejmu Rzeczypospolitej Polskiej z dnia 29 września 2021 r. w sprawie ogłoszenia jednolitego tekstu ustawy - Prawo ochrony środowiska (Dz.U. 2021 poz. 1973)
- Rozporządzenie Ministra Klimatu i Środowiska z dnia 6 maja 2022 r. zmieniające rozporządzenie w sprawie sposobów sprawdzania dotrzymywania dopuszczalnych poziomów pól elektromagnetycznych w środowisku (Dz.U. 2022 poz. 1121).

„Bez pisemnej zgody Laboratorium niniejsze sprawozdanie nie może być powielane inaczej, jak tylko w całości. Ponadto wyniki dotyczą tylko badanych obiektów przywołanych w niniejszym sprawozdaniu z badań”

3. Opis pomiarów

Metodologia pomiarowa	Pomiary w oparciu o Rozporządzeniem Ministra Klimatu z dnia 17 lutego 2020 r. w sprawie sposobów sprawdzania dotrzymania dopuszczalnych poziomów pól elektromagnetycznych w środowisku (Dz.U. 2020 poz. 258) oraz Rozporządzenie Ministra Klimatu i Środowiska z dnia 6 maja 2022 r. zmieniające rozporządzenie w sprawie sposobów sprawdzania dotrzymywania dopuszczalnych poziomów pól elektromagnetycznych w środowisku (Dz.U. 2022 poz. 1121).
Cel badań	Określenie wartości natężenia pola elektrycznego w miejscach dostępnych dla ludności.
Opis zestawu pomiarowego	Miernik Narda NBM 550, Sonda EF9091, o zakresie pomiarowym 0,7 V/m - 300V/m pracująca w paśmie 0,1 – 90 GHz, świadectwo wydane przez Laboratorium Wzorców i Metrologii Pola Elektromagnetycznego, Instytut Telekomunikacji, Teleinformatyki i Akustyki Politechniki Wrocławskiej. Świadectwo ważne do 10.06.2024r. Miernik Narda NBM 550, Sonda EF9091 pracująca w zakresie temperatury -10°C +50°C oraz wilgotności 5% - 95%. Niepewność rozszerzona 38,6% przy poziomie ufności 95% z uwzględnieniem współczynnika rozszerzenia k=2.
Wyposażenie pomocnicze	Termohigrometr Termoprodukt, typ: Termik+, Nr. inwentarzowy 43/WL, nr identyfikacyjny 1530619, świadectwo wzorcowania nr 0392/AH/20 z dn. 02.03.2020 r. wydane przez Laboratorium Pomiarowe "MUTECH". Dalmierz laserowy BOSH GLM 40, Nr. inwentarzowy 27/WL, nr seryjny 711425432, Świadectwo wzorcowania L4-L41.4180.141.2018.3061.1 z dnia 12 września 2018 wydane przez Pracownia Długości Samodzielnego Laboratorium Długości w Głównym Urzędzie Miar. GPS Garmin 64s okresowo sprawdzany w punktach osnowy geodezyjnej klasy 3 na podstawie licencji punktu, zgodnie z procedurą sprawdzeń okresowych IS/PO16-11/03.
Pomiary zostały wykonane	<ol style="list-style-type: none">1. na głównych i pomocniczych kierunkach pomiarowych, na kierunkach zbliżonych do azymutów anten oraz w dodatkowych pionach pomiarowych zgodnie z wymaganiami pkt 12, 13, 14 i 19 Rozporządzenia Ministra Klimatu z dnia 17 lutego 2020 r. (Dz. U. 2020, poz. 258) oraz Rozporządzenia Ministra Klimatu i Środowiska z dnia 6 maja 2022 r. zmieniającego rozporządzenie w sprawie sposobów sprawdzania dotrzymywania dopuszczalnych poziomów pól elektromagnetycznych w środowisku (Dz.U. 2022 poz. 1121).2. na obszarze pomiarowym, dla którego, na podstawie uprzednio przeprowadzonych obliczeń stwierdzono w miejscach dostępnych dla ludności występowanie pól elektromagnetycznych o najwyższym poziomie, które pochodzą z badanej instalacji zgodnie z wymaganiami pkt 5 ppkt 2 oraz pkt 13 ppkt 1 Rozporządzenia Ministra Klimatu z dnia 17 lutego 2020 r. w sprawie sposobów sprawdzania dotrzymania dopuszczalnych poziomów pól elektromagnetycznych w środowisku (Dz. U. 2020, poz. 258) oraz Rozporządzenia Ministra Klimatu i Środowiska z dnia 6 maja 2022 r. zmieniającego rozporządzenie w sprawie sposobów sprawdzania dotrzymywania dopuszczalnych poziomów pól elektromagnetycznych w środowisku (Dz.U. 2022 poz. 1121). Wyniki obliczeń nie uwzględniały parametrów pracy instalacji innych operatorów występujących na obiekcie bądź w obszarze pomiarowym.3. w miejscach dostępnych dla ludności.4. miejsca niedostępne podczas wykonywania pomiarów wskazane zostały w pkt 6 (tabeli wyniki pomiarów).

„Bez pisemnej zgody Laboratorium niniejsze sprawozdanie nie może być powielane inaczej, jak tylko w całości. Ponadto wyniki dotyczą tylko badanych obiektów przywołanych w niniejszym sprawozdaniu z badań”

Szczegółne warunki podczas wykonywania pomiarów

Pomiary wykonane zostały podczas obowiązywania w kraju stanu zagrożenia epidemicznego, zgodnie z art. 122a ust. 1b Ustawy z dnia 27 kwietnia 2001 r. – Prawo ochrony środowiska (Dz. U. z 2019 r. poz. 1396, z późn. zm.9)).

Warunki pracy urządzeń nadawczych

Tryb pracy eksploatacyjny.

4. Zróżnicowanie dopuszczalne poziomy pól elektromagnetycznych.

Zakresy znajdują się w Dzienniku Ustaw z dnia 17 grudnia 2019 r. przedstawione są w tabeli nr 2 (Dz. U. z 2019r. poz. 2448).

Parametr fizyczny	Składowa elektryczna E (V/m)	Składowa magnetyczna H (A/m)	Gęstość mocy S (W/m ²)
Zakres Częstotliwości pola elektromagnetycznego			
od 400 MHz do 2000 MHz	$1,375 \times f^{0,5}$	$0,0037 \times f^{0,5}$	$f / 200$
od 2 GHz do 300 GHz	61	0,16	10

5. Charakterystyka źródeł PEM.

Zgodnie z informacją otrzymaną od Klienta pomiary zostały wykonane przy ustawieniach pochylenia anten zgodnych z pkt. 13, ppkt 2 Rozporządzenia Ministra Klimatu z dnia 17 lutego 2020 roku.

Tabela 1. Anteny sektorowe - dane otrzymane od klienta

Charakterystyka promieniowania		kierunkowa											
Rzeczywisty czas pracy [h/dobę]		24											
Rodzaj wytwarzanego pola		stacjonarne											
L p	Wyszczególnienie	sektor 1						sektor 2					
		Nadajnik stacji bazowej:											
1	Typ / Producent	RBS / SRAN Ericsson											
2	Częstotliwość (pasmo) MHz	2600	800	2600	900	2100	1800	2600	800	2600	900	2100	1800
3	Maksymalna moc nadawana na sektor [dBm]	49,03	49,03	49,03	47,78	53,01	53,01	49,03	49,03	49,03	47,78	53,01	53,01
		Obciążenie:											
1	Typ anteny	Huawei ADU4518R11		Huawei ADU4518R11		Huawei ADU4518R6		Huawei ADU4518R11		Huawei ADU4518R11		Huawei ADU4518R6	
2	Producent anteny	Huawei		Huawei		Huawei		Huawei		Huawei		Huawei	
3	Nazwa anteny	11_HV	11_HV	12_GHT	12_GHT	14_HLN	14_HLN	21_HV	21_HV	22_GHT	22_GHT	24_HLN	24_HLN
4	Ilość anten	1		1		1		1		1		1	
5	Azymut	0						117					
6	Zakres kątów pochylenia anten [°]	2-12	0-12	2-12	0-12	0-12	0-12	2-12	0-12	2-12	0-12	0-12	0-12
7	Wysokość zainst. n.p.t. [m]	17,90		17,90		18,30		17,90		17,90		18,30	
8	EIRP [W]	7678		7029		21704		7678		7029		21704	

„Bez pisemnej zgody Laboratorium niniejsze sprawozdanie nie może być powielane inaczej, jak tylko w całości. Ponadto wyniki dotyczą tylko badanych obiektów przywołanych w niniejszym sprawozdaniu z badań”

Charakterystyka promieniowania		kierunkowa				
Rzeczywisty czas pracy [h/dobę]		24				
Rodzaj wytwarzanego pola		stacjonarne				
Lp	Wyszczególnienie	sektor 3				
I	Nadajnik stacji bazowej:					
1	Typ / Producent	RBS / SRAN Ericsson				
2	Częstotliwość (pasmo) MHz	900	800	2100	1800	2600
3	Maksymalna moc nadawana na sektor [dBm]	47,78	49,03	53,01	53,01	52,04
II	Obciążenie:					
1	Typ anteny	Huawei ADU4515R5		Huawei ADU4518R6		Huawei ADU4518R6
2	Producent anteny	Huawei		Huawei		Huawei
3	Nazwa anteny	33_GTV	33_GTV	31_HLN	31_HLN	32_H
4	Ilość anten	1		1		1
5	Azymut	215				
6	Zakres kątów pochylenia anten [°]	0-14	0-14	0-12	0-12	0-12
7	Wysokość zainst. n.p.t. [m]	18,20		18,30		18,30
8	EIRP [W]	3850		21704		10122

Tabela 2. Anteny radioliniowe- dane otrzymane od klienta
Brak anten

6. Wyniki pomiarów.

Wyniki pomiarów pól elektromagnetycznych dla celów ochrony środowiska przedstawia poniższa tabela. Piony pomiarowe zostały przedstawione w zał. 2.

Nr PP	Pole-E [V/m]	Pole-E, +U [V/m]	Pole-H [A/m]	Pole-H +U [A/m]	Wys. pomiaru [m]	Opis pionu	Uwagi	WM _E	WM _H
1	2,3	3,19	0,006	0,008	0,3-2,0	N:51°15'13.3" E:22°32'19.2"	otoczenie stacji bazowej - 25m wzdłuż gł. osi promieniowania - GKP	0,114	0,116
2	2,5	3,47	0,007	0,009	0,3-2,0	N:51°15'12.6" E:22°32'20.6"	otoczenie stacji bazowej - 50m wzdłuż gł. osi promieniowania - GKP	0,124	0,126
3	2,3	3,19	0,006	0,008	0,3-2,0	N:51°15'12.6" E:22°32'21.7"	otoczenie stacji bazowej - 75m wzdłuż gł. osi promieniowania - GKP	0,114	0,116
4	2,1	2,91	0,006	0,008	0,3-2,0	N:51°15'12.1" E:22°32'22.9"	otoczenie stacji bazowej - 100m wzdłuż gł. osi promieniowania - GKP	0,104	0,106
5	1,8	2,49	0,005	0,007	0,3-2,0	N:51°15'11.6" E:22°32'23.8"	otoczenie stacji bazowej - 125m wzdłuż gł. osi promieniowania - GKP	0,089	0,091
6	1,6	2,22	0,004	0,006	0,3-2,0	N:51°15'11.2" E:22°32'25.2"	otoczenie stacji bazowej - 150m wzdłuż gł. osi promieniowania - GKP	0,079	0,081
7	1,3	1,80	0,003	0,005	0,3-2,0	N:51°15'10.8" E:22°32'26.6"	otoczenie stacji bazowej - 185m wzdłuż gł. osi promieniowania - GKP	0,064	0,065
8	1,8	2,49	0,005	0,007	0,3-2,0	N:51°15'12.3" E:22°32'16.4"	otoczenie stacji bazowej - 50m wzdłuż gł. osi promieniowania - GKP	0,089	0,091
9	2,2	3,05	0,006	0,008	0,3-2,0	N:51°15'10.3" E:22°32'14.3"	otoczenie stacji bazowej - 125m wzdłuż gł. osi promieniowania - GKP	0,109	0,111
10	2,0	2,77	0,005	0,007	0,3-2,0	N:51°15'09.6" E:22°32'13.3"	otoczenie stacji bazowej - 150m wzdłuż gł. osi promieniowania - GKP	0,099	0,101
11	1,9	2,63	0,005	0,007	0,3-2,0	N:51°15'08.7" E:22°32'12.5"	otoczenie stacji bazowej - 185m wzdłuż gł. osi promieniowania - GKP	0,094	0,096
12	1,3	1,80	0,003	0,005	0,3-2,0	N:51°15'14.7" E:22°32'17.6"	otoczenie stacji bazowej - 25m wzdłuż gł. osi promieniowania - GKP	0,064	0,065
13	1,5	2,08	0,004	0,006	0,3-2,0	N:51°15'15.6" E:22°32'17.6"	otoczenie stacji bazowej - 50m wzdłuż gł. osi promieniowania - GKP	0,074	0,076

„Bez pisemnej zgody Laboratorium niniejsze sprawozdanie nie może być powielane inaczej, jak tylko w całości. Ponadto wyniki dotyczą tylko badanych obiektów przywołanych w niniejszym sprawozdaniu z badań”

14	1,8	2,49	0,005	0,007	0,3-2,0	N:51°15'16.5" E:22°32'17.9"	otoczenie stacji bazowej - 75m wzdłuż gł. osi promieniowania - GKP	0,089	0,091
15	1,5	2,08	0,004	0,006	0,3-2,0	N:51°15'16.3" E:22°32'18.8"	otoczenie stacji bazowej - 100m wzdłuż gł. osi promieniowania - GKP	0,074	0,076
16	1,0	1,39	0,003	0,004	0,3-2,0	N:51°15'14.7" E:22°32'19.2"	otoczenie stacji bazowej - GKP	0,050	0,050
17	1,9	2,63	0,005	0,007	0,3-2,0	N:51°15'13.2" E:22°32'22.2"	otoczenie stacji bazowej - GKP	0,094	0,096
18	1,0	1,39	0,003	0,004	0,3-2,0	N:51°15'11.5" E:22°32'20.8"	otoczenie stacji bazowej - GKP	0,050	0,050
19	1,3	1,80	0,003	0,005	0,3-2,0	N:51°15'12.1" E:22°32'18.6"	otoczenie stacji bazowej - GKP	0,064	0,065
20	1,9	2,63	0,005	0,007	0,3-2,0	N:51°15'10.8" E:22°32'17.4"	otoczenie stacji bazowej - GKP	0,094	0,096
21	1,9	2,63	0,005	0,007	0,3-2,0	N:51°15'12.7" E:22°32'16.5"	otoczenie stacji bazowej - GKP	0,094	0,096
22	1,7	2,36	0,005	0,006	0,3-2,0	N:51°15'14.3" E:22°32'15.2"	otoczenie stacji bazowej - GKP	0,084	0,086
23	1,9	2,63	0,005	0,007	0,3-2,0	N:51°15'15.4" E:22°32'16.7"	otoczenie stacji bazowej - GKP	0,094	0,096
24	1,8	2,49	0,005	0,007	0,3-2,0	N:51°15'16.5" E:22°32'15.6"	otoczenie stacji bazowej - GKP	0,089	0,091
A	1,9	2,63	0,005	0,007	0,3-2,0	N:51°15'13.4" E:22°32'18.0"	Głowackiego 35, pomiar przed budynkiem -DPP	0,094	0,096
B	1,7	2,36	0,005	0,006	0,3-2,0	N:51°15'11.8" E:22°32'24.4"	Junoszy 21, pomiar przed budynkiem -DPP	0,084	0,086
C	1,7	2,36	0,005	0,006	0,3-2,0	N:51°15'11.3" E:22°32'23.9"	Junoszy 19, pomiar przed budynkiem -DPP	0,084	0,086
D	1,3	1,80	0,003	0,005	0,3-2,0	N:51°15'14.9" E:22°32'24.4"	Junoszy 22, pomiar przed budynkiem -DPP	0,064	0,065
E	1,2	1,66	0,003	0,004	0,3-2,0	N:51°15'09.9" E:22°32'25.8"	Poniatowskiego 5, pomiar przed budynkiem -DPP	0,059	0,060
F	1,6	2,22	0,004	0,006	0,3-2,0	N:51°15'11.9" E:22°32'22.9"	Junoszy 14, pomiar przed budynkiem -DPP	0,079	0,081
G	2,1	2,91	0,006	0,008	0,3-2,0	N:51°15'12.2" E:22°32'21.2"	Lelka-Sowy 7, pomiar przed budynkiem -DPP	0,104	0,106
H	2,1	2,91	0,006	0,008	0,3-2,0	N:51°15'12.5" E:22°32'20.3"	Lelka-Sowy 5, pomiar przed budynkiem -DPP	0,104	0,106
I	2,5	3,47	0,007	0,009	0,3-2,0	N:51°15'12.7" E:22°32'19.3"	Lelka-Sowy 3, pomiar przed budynkiem -DPP	0,124	0,126
J	2,5	3,47	0,007	0,009	0,3-2,0	N:51°15'12.9" E:22°32'18.5"	Lelka-Sowy 1a, pomiar przed budynkiem -DPP	0,124	0,126
K	1,0	1,39	0,003	0,004	0,3-2,0	N:51°15'12.9" E:22°32'17.1"	Głowackiego 33, pomiar przed budynkiem -DPP	0,050	0,050
L	0,9	1,25	0,002	0,003	0,3-2,0	N:51°15'11.9" E:22°32'16.3"	Głowackiego 31, pomiar przed budynkiem -DPP	0,045	0,045
M	1,2	1,66	0,003	0,004	0,3-2,0	N:51°15'11.7" E:22°32'18.1"	Lelka-Sowy 3a, pomiar przed budynkiem -DPP	0,059	0,060
N	2,0	2,77	0,005	0,007	0,3-2,0	N:51°15'11.6" E:22°32'19.2"	Lelka-Sowy 5a, pomiar przed budynkiem -DPP	0,099	0,101
O	1,0	1,39	0,003	0,004	0,3-2,0	N:51°15'11.3" E:22°32'15.8"	Głowackiego 29, pomiar przed budynkiem -DPP	0,050	0,050
P	1,4	1,94	0,004	0,005	0,3-2,0	N:51°15'10.9" E:22°32'17.7"	Popiełuszki 17a/17b, pomiar przed budynkiem -DPP	0,069	0,071
R	0,9	1,25	0,002	0,003	0,3-2,0	N:51°15'10.3" E:22°32'15.8"	Popiełuszki 19, pomiar przed budynkiem -DPP	0,045	0,045
S	0,9	1,25	0,002	0,003	0,3-2,0	N:51°15'10.0" E:22°32'16.5"	Popiełuszki 19a, pomiar przed budynkiem -DPP	0,045	0,045
T	1,4	1,94	0,004	0,005	0,3-2,0	N:51°15'09.8" E:22°32'17.5"	Popiełuszki 17, pomiar przed budynkiem -DPP	0,069	0,071
U	1,4	1,94	0,004	0,005	0,3-2,0	N:51°15'10.0" E:22°32'14.5"	Popiełuszki 20, pomiar przed budynkiem -DPP	0,069	0,071
W	1,3	1,80	0,003	0,005	0,3-2,0	N:51°15'09.1" E:22°32'14.4"	Głowackiego 22, pomiar przed budynkiem -DPP	0,064	0,065
V	1,2	1,66	0,003	0,004	0,3-2,0	N:51°15'08.6" E:22°32'14.0"	Głowackiego 20, pomiar przed budynkiem -DPP	0,059	0,060

„Bez pisemnej zgody Laboratorium niniejsze sprawozdanie nie może być powielane inaczej, jak tylko w całości. Ponadto wyniki dotyczą tylko badanych obiektów przywołanych w niniejszym sprawozdaniu z badań”

X	1,9	2,63	0,005	0,007	0,3-2,0	N:51°15'11.5" E:22°32'15.4"	Głowackiego 26/26a, pomiar przed budynkiem -DPP	0,094	0,096
Y	1,9	2,63	0,005	0,007	0,3-2,0	N:51°15'13.4" E:22°32'16.6"	Głowackiego 28, pomiar przed budynkiem -DPP	0,094	0,096
Z	1,8	2,49	0,005	0,007	0,3-2,0	N:51°15'14.7" E:22°32'16.9"	Głowackiego 28a, pomiar przed budynkiem -DPP	0,089	0,091
A1	1,8	2,49	0,005	0,007	0,3-2,0	N:51°15'16.4" E:22°32'17.1"	Junoszy 26, pomiar przed budynkiem -DPP	0,089	0,091
B1	1,	1,39	0,003	0,004	0,3-2,0	N:51°15'16.1" E:22°32'18.9"	Junoszy 24, pomiar przed budynkiem -DPP	0,050	0,050
C1	1,7	2,36	0,005	0,006	0,3-2,0	N:51°15'16.1" E:22°32'20.9"	Junoszy 41, pomiar przed budynkiem -DPP	0,084	0,086
D1	1,7	2,36	0,005	0,006	0,3-2,0	N:51°15'16.5" E:22°32'18.6"	Junoszy 43, pomiar przed budynkiem -DPP	0,084	0,086
E1	1,5	2,08	0,004	0,006	0,3-2,0	N:51°15'16.6" E:22°32'16.8"	Junoszy 45, pomiar przed budynkiem -DPP	0,074	0,076
F1	1,0	1,39	0,003	0,004	0,3-2,0	N:51°15'19.7" E:22°32'17.3"	Ćwiklińskiej 4, pomiar przed budynkiem -DPP	0,050	0,050

Wynik pomiaru pole - E [V/m] - maksymalna wartość chwilowa zmierzona w danym pionie pomiarowym (uśredniona na podstawie punktu 11 załącznika do Rozporządzenia Ministra Klimatu z dnia 17 lutego 2020 r. w sprawie sposobów sprawdzania dotrzymania dopuszczalnych poziomów pól elektromagnetycznych w środowisku (Dz.U. 2020 poz. 258, Dz.U. 2022 poz. 1121)). Zgodnie z pkt. 7 załącznika do Rozporządzenia Ministra Klimatu z dnia 17 lutego 2020 r. w sprawie sposobów sprawdzania dotrzymania dopuszczalnych poziomów pól elektromagnetycznych w środowisku (Dz.U. 2020 poz. 258, Dz.U. 2022 poz. 1121) nie stosuje się poprawek pomiarowych.

Przyjęto najniższą dopuszczalną wartość składowej elektrycznej pola dla objętego pomiarami zakresu częstotliwości $\min(ME_{gr}) = 28 \text{ V/m}$ oraz składowej magnetycznej $\min(MH_{gr}) = 0,073 \text{ A/m}$.

* - wartość zmierzona poniżej zakresu akredytacji. Do obliczeń przyjęto wartość zgodną z dolną granicą akredytowanego zakresu pomiarowego metody.

GKP - główne kierunki pomiarowe

PKP - pomocnicze kierunki pomiarowe

DPP - dodatkowe punkty pomiarowe

PP - pion pomiarowy

U - niepewność pomiarowa rozszerzona, przy poziomie ufności 95%, z uwzględnieniem współczynnika rozszerzenia $k=2$

WM_E - wartość wskaźnikowa poziomu emisji pól elektromagnetycznych dla miejsc dostępnych dla ludności dla składowej elektrycznej pola

WM_H - wartość wskaźnikowa poziomu emisji pól elektromagnetycznych dla miejsc dostępnych dla ludności dla składowej magnetycznej pola

7. Stwierdzenie zgodności

Na podstawie wytycznych podanych w Rozporządzeniu Ministra Zdrowia z dnia 17 grudnia 2019 r. w sprawie dopuszczalnych poziomów pól elektromagnetycznych w środowisku (Dz.U. 2019 poz. 2448) oraz sposobów sprawdzania dotrzymania tych poziomów zgodnie z Rozporządzeniem Ministra Klimatu z dnia 17 lutego 2020 r. w sprawie sposobów sprawdzania dotrzymania dopuszczalnych poziomów pól elektromagnetycznych w środowisku (Dz.U. 2020 poz. 258) oraz Rozporządzeniem Ministra Klimatu i Środowiska z dnia 6 maja 2022 r. zmieniającego rozporządzenie w sprawie sposobów sprawdzania dotrzymania dopuszczalnych poziomów pól elektromagnetycznych w środowisku (Dz.U. 2022 poz. 1121), dotyczących źródła wymagań, które muszą być spełnione, w oparciu o zasadę podejmowania decyzji zgodną z pkt. 26 Rozporządzenia Ministra Klimatu z dnia 17 lutego 2020 r. (Dz.U. 2020 poz. 258), na podstawie wyników pomiarów pól elektromagnetycznych wykonanych w dniu 06.04.2023 stwierdzono, że wszystkie wyniki przeprowadzonych pomiarów w danym obszarze pomiarowym oraz wyznaczone na tej podstawie wskaźniki WME oraz WMH są mniejsze od wartości dopuszczalnych – zgodnie z przepisami wydanymi na podstawie art. 122 ust. 1 ustawy z dnia 27 kwietnia 2001 r. – Prawo ochrony środowiska – załącznikiem do Rozporządzenia Ministra Klimatu i Środowiska z dnia 17 lutego 2020 r. w sprawie sposobów sprawdzania dotrzymania dopuszczalnych poziomów pól elektromagnetycznych w środowisku (Dz.U. 2020 poz. 258, pkt 26).

8. Oświadczenie.

Wyniki badania odnoszą się wyłącznie do badanego obiektu.

Bez pisemnej zgody sprawozdanie nie może być powielane inaczej, jak tylko w całości.

Uwagi i zastrzeżenia przyjmowane są w formie pisemnej.

9. Spis załączników.

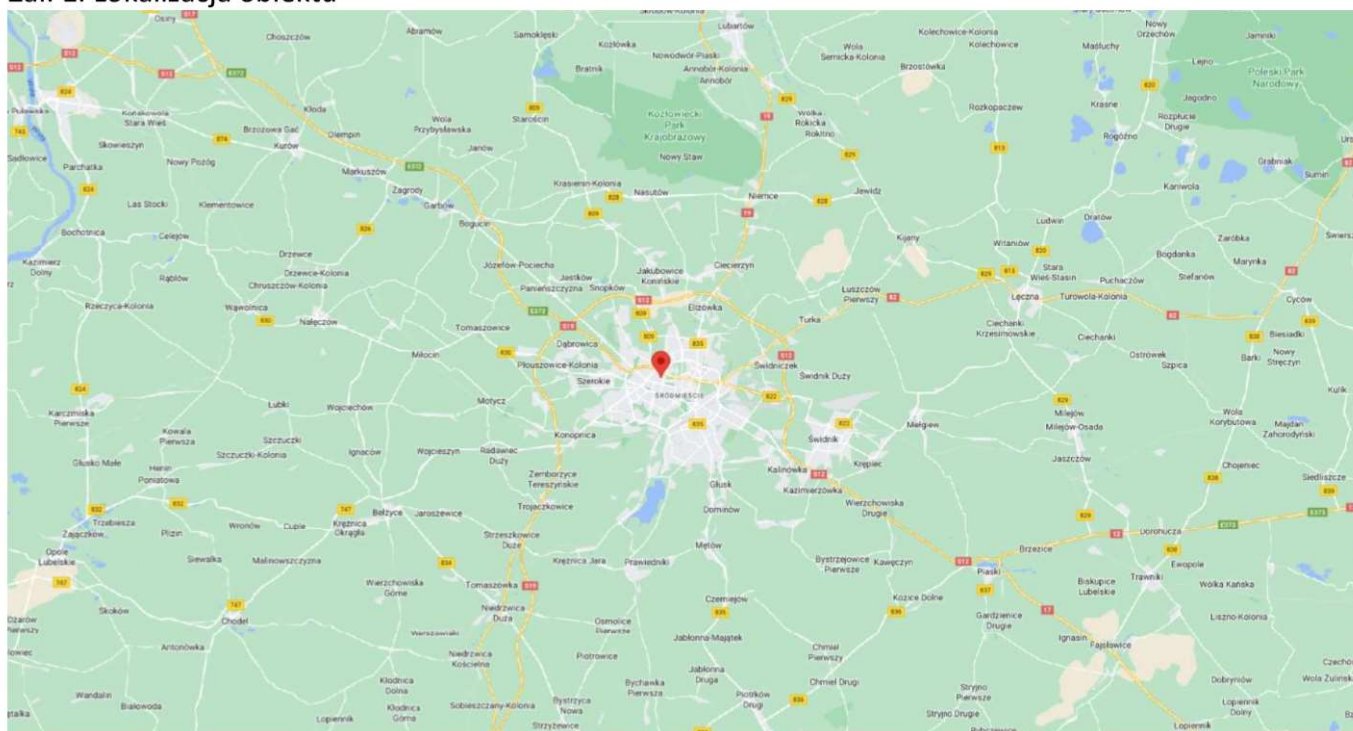
Załącznik 1. Lokalizacja obiektu.

Załącznik 2. Widok pionowy pomiarowych

Załącznik 3. Załączniki graficzne

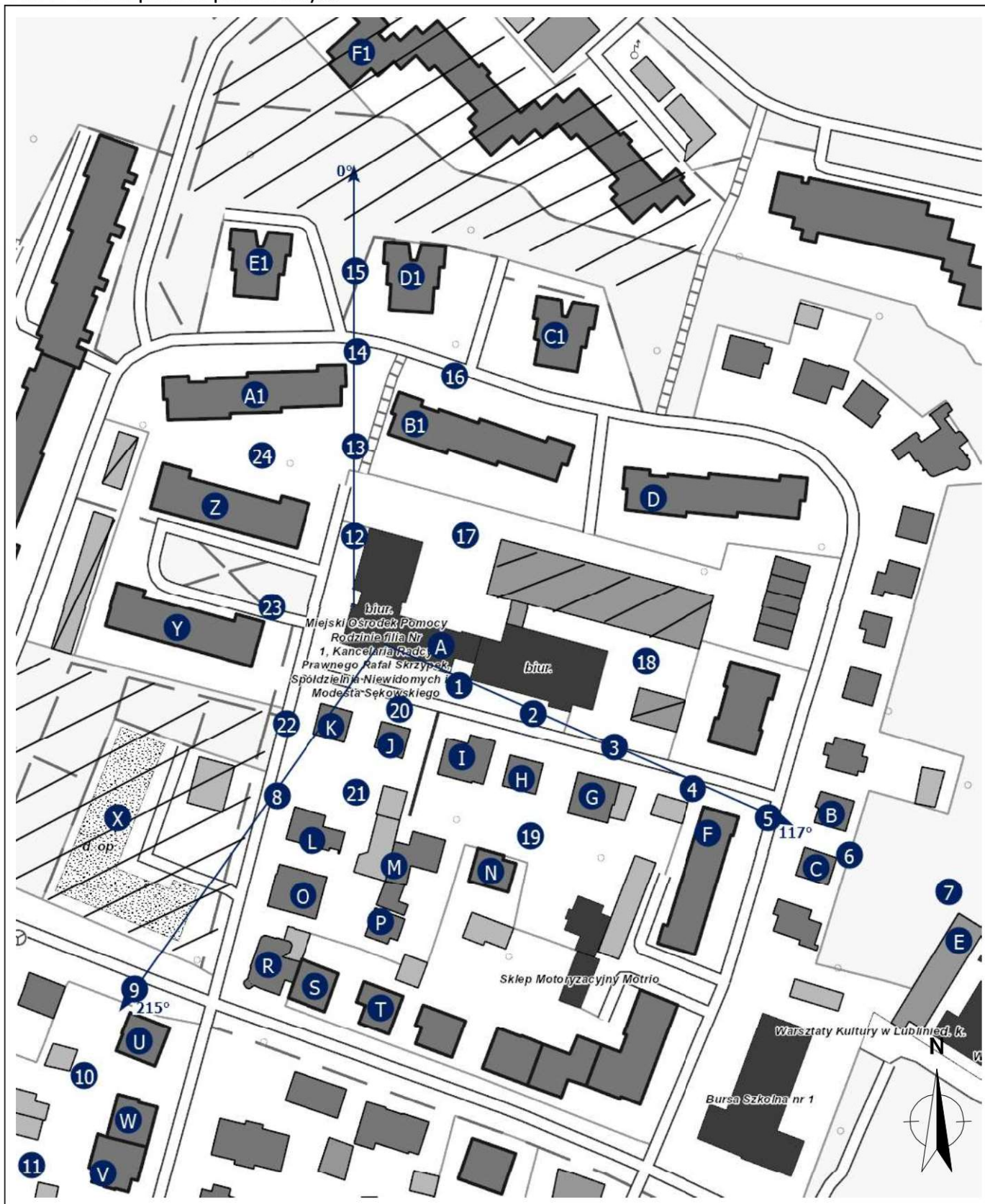
Koniec sprawozdania

Załącznik 1. Lokalizacja obiektu



Współrzędne geograficzne	
długość:	22°32'17.72"E
szerokość:	51°15'13.61"N

Załącznik 2. Widok pionów pomiarowych



LEGENDA:

inna instalacja radiokomunikacyjna

brak dostępu

nr pion pomiaru

antena sektorowa

antena radioliowa

Skala: 1:2100



„Bez pisemnej zgody Laboratorium niniejsze sprawozdanie nie może być powielane inaczej, jak tylko w całości. Ponadto wyniki dotyczą tylko badanych obiektów przywołanych w niniejszym sprawozdaniu z badań”

Załącznik 3. Załączniki graficzne.

